

ԵՐԵՎԱՆԻ ՖԻզԻԿԱՅԻ ԻՆՍՏԻՏՈՒՏ

ԳԻՏԱԿԱՆ ՀԱՅՈՐԴՈՒԹ

НАУЧНОЕ СООБЩЕНИЕ

ЕФИ-26(73)

А.И.Алиханян, Г.Л.Баятян, Г.С.Вартанян,

С.Г.Князян, А.Т.Маргарян

О ВОЗМОЖНОСТИ ИЗМЕРЕНИЯ ПОЛНОГО СЕЧЕНИЯ
ФОТОРОЖДЕНИЯ ρ^0 -МЕЗОНА НА ЭЛЕКТРОННОМ
ПУЧКЕ ИФВЭ БЕЗ МАГНИТНОГО СПЕКТРОМЕТРА

ЕРЕВАНСКИЙ ФИЗИЧЕСКИЙ ИНСТИТУТ

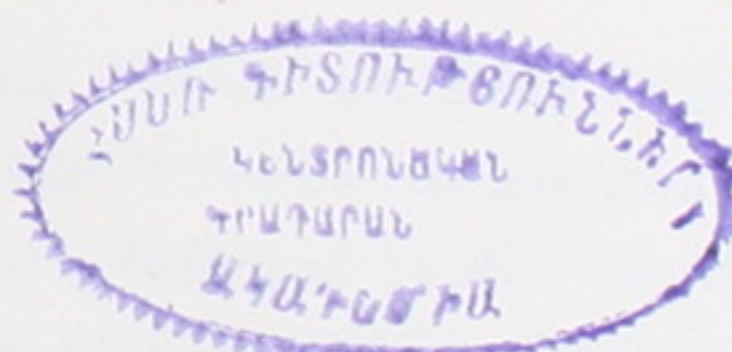
USPENSKIY

Научное сообщение ЕФИ-26(73)

А.И.АЛИХАНЯН, Г.Л.БАЯТЯН, Г.С.ВАРТАНЯН,
С.Г.КНЯЗЯН, А.Т.МАРГАРЯН

О ВОЗМОЖНОСТИ ИЗМЕРЕНИЯ ПОЛНОГО СЕЧЕНИЯ ФОТОРОСДЕЛЕНИЯ
 ρ^0 -МЕЗОНА НА ЭЛЕКТРОННОМ ПУЧКЕ ИВФЭ БЕЗ МАГНИТНОГО
СПЕКТРОМЕТРА

324163



Ереван 1973

УДК.539.172.3:539.126.4

Научное сообщение ЕФИ-26(73)

А.И.АЛИХАНЯН, Г.Л.БАЯТЯН, Г.С.ВАРТАНЯН

С.Г.КНЯЗЯН, А.Т.МАРГАРИАН

О ВОЗМОЖНОСТИ ИЗМЕРЕНИЯ ПОЛНОГО СЕЧЕНИЯ ФОТОРОЖДЕНИЯ ρ^0 -
-МЕЗОНА НА ЭЛЕКТРОННОМ ПУЧКЕ ИФВЭ БЕЗ МАГНИТНОГО
СПЕКТРОМЕТРА

Рассматривается возможность измерения полного сечения фоторождения ρ^0 -мезона на водороде и ядрах в области энергий 10-40 Гэв на электронном пучке Серпуховского протонного ускорителя.

Предлагается конкретная экспериментальная установка без применения магнитного спектрометра.

Ереванский физический институт

Ереван 1973

Scientific Report ЕФИ-26(73)

A.I.ALIKHANIAN, G.L.BAYATIAN, S.G.KNYAZIAN,

A.T.MARGARIAN, G.S.VARTANIAN

ON THE POSSIBILITY OF MEASURING ρ^0 - PHOTOPRODUCTION TOTAL CROSS SECTION WITH THE ELECTRON BEAM IHEP WITHOUT MAGNETIC SPECTROMETER

The possibility of measuring the ρ^0 - photoproduction total cross section on hydrogen and nuclei in the energy region 10-40 GeV with the electron beam of Serpukhov proton synchrotron is considered. A concrete experimental arrangement without spectrometer is proposed.

Yerevan Physics Institute

Yerevan 1973

Недавние точные эксперименты по измерению фотообразования ρ^0 -мезонов показали независящее от энергии поведение сечения фотообразования ρ^0 -мезонов в области энергии 5–18 Гэв [1]. В рамках правильности модели векторной доминантности это означает, что полное сечение фотообразования адронов не должно зависеть от энергии. Экспериментальные данные [2] указывают на медленный спад этого сечения до энергии 18 Гэв. В связи с этим представляет определенный интерес непосредственная проверка соотношений, предсказываемых ВДМ, между сечениями полного поглощения γ -квантов и фотообразования векторных мезонов для интервала энергий выше 18 Гэв.

Возможности измерения сечения фотопроиздания ρ^0 -мезонов выше энергии 18 Гэв путем создания высокоэнергичного пучка меченых γ -квантов на Серпуховском протонном ускорителе были обсуждены в работах [3], [4]. Характеристики полученного в ИФВЭ электронного пучка [5] совпали с рассчитанными в этих работах данными.

В настоящей заметке обсуждаются возможности измерения фотопроиздания ρ^0 -мезонов на меченом фотонном пучке в ИФВЭ до энергии 35 Гэв без определения энергии J/ψ^\pm -мезонов от распада ρ^0 -мезона. Это делает возможным исключение из экспериментальной установки магнитного спектрометра, что, во-первых, упрощает эксперимент и, во-вторых, создает благоприятные условия для одновремен-

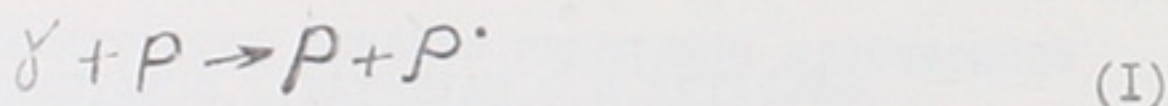
ного измерения полных сечений фотопоглощения адронов и фотосбрасывания ρ^0 -мезонов.

Предлагается экспериментальная установка (рис. I) для измерения сечения фотообразования ρ^0 -мезонов на нуклонах и на ядрах.

Системой мечения (СМ) и фольговыми искровыми камерами (IK_1), (IK_2) определяются энергия и направление налетающих γ -квантов (направление γ -квантов совпадает с направлением первичных электронов), а искровыми камерами (IK_3), (IK_4), которые запускаются триггерными сцинтиляционными счетчиками S_1 и S_2 , определяются углы π^\pm -мезонов от распада $\rho^0 \rightarrow \pi^+ + \pi^-$ по отношению к первоначальному направлению γ -квантов.

Ложные фотонны исключаются сцинтиляционными счетчиками A_1 , A_2 , A_3 , которые включаются в антисовпадение, а ливневым детектором полного поглощения (ЛД), также включенным в антисовпадение, подавляются электромагнитные процессы.

Известно, что образовавшиеся в реакции



ρ^0 -мезоны в основном имеют направление и энергию γ -квантов.

На рис. 2 приведены экспериментальные данные [6] по измерению $\frac{d\sigma}{dt}$ для водорода, углерода и алюминия. Эти данные аппроксимированы формулой

$$\frac{d\sigma}{dt} = \left(\frac{d\sigma}{dt} \right)_{t=0} e^{-\alpha t}, \quad (2)$$

где t - четырехмерный передаваемый импульс;
константа $\alpha \approx 8$ для водорода.

Из рисунка видно, что для водорода при $t > 0,3$ (Гэв)² сечение сильно падает. В самом деле, сечение тех случаев взаимо-

действия, когда передаваемый импульс $t \geq -0,3$ (Гэв)² будет

$$G_{t \geq -0,3} = \int_{-\infty}^0 \frac{d\sigma}{dt} dt - \int_{-0,3}^0 \frac{d\sigma}{dt} dt = \frac{0,091}{8} \left(\frac{d\sigma}{dt} \right)_{t=0},$$

а полное сечение будет

$$G_{tot} = \int_{-\infty}^0 \frac{d\sigma}{dt} dt = \frac{1}{8} \left(\frac{d\sigma}{dt} \right)_{t=0}.$$

Следовательно, случай с передачей импульса $t \geq -0,3$ (Гэв)² составляет $\sim 9\%$ от полного сечения. Для реакции (I) можно написать

$$E_\rho = \frac{s + t - m_\rho^2}{2m_\rho}, \quad (3)$$

где E_ρ — полная энергия ρ^0 -мезона;

t — четырехмерный передаваемый импульс;

m_ρ — масса водорода;

$s = m_\rho^2 + 2E_\rho m_\rho$ (полная энергия в системе ц.м.)

Таким образом получается

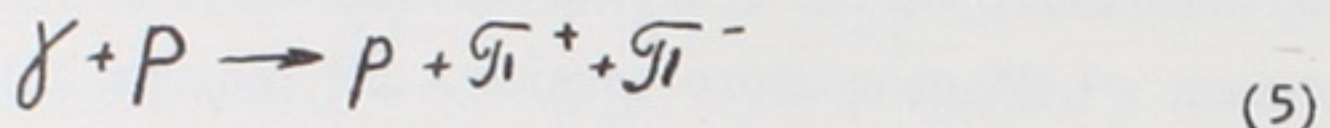
$$E_\rho = \frac{m_\rho^2 + 2E_\rho m_\rho + t - m_\rho^2}{2m_\rho} = E_\rho + \frac{t}{2m_\rho}. \quad (4)$$

В табл. I приводится несколько значений второго члена формулы (4).

Таблица I

t (Гэв) ²	-0,3	-0,25	-0,2	-0,15	-0,1	-0,05
$\frac{t}{2m_\rho}$ (Гэв)	-0,159	-0,133	-0,106	-0,08	-0,053	-0,0265

Из таблицы видно, что $\frac{\epsilon}{2m_p}$ дает очень маленький вклад и с достаточно высокой точностью можно считать, что $E_\rho \approx E_J$. Для других ядер A намного больше и $\frac{\epsilon}{2m_p}$ получается намного меньше чем для H_2 . В таком приближении становится возможным из кинематического анализа определить массу ρ^0 -мезона без предварительного определения энергии продуктов распада $\rho^0 \rightarrow J^+ + J^-$. Из кинематики реакции



известны следующие формулы для массы ρ^0 -мезона и энергии J -кванта [4].

$$m_\rho^2 = 2m_\pi^2 + 2E_\pi^+ E_\pi^- - 2P_\pi^+ P_\pi^- \cos\Theta_{12} \\ E_J = \frac{2m_\rho(E_\pi^+ + E_\pi^-) - m_\rho^2}{2[m_\rho - (E_\pi^+ + E_\pi^-) + P_\pi^+ \cos\Theta_{12} + P_\pi^- \cos\Theta_{12}]]}, \quad (6)$$

где m_π^\pm - масса покоя J^\pm -мезонов

E_π^\pm - полная энергия J^\pm -мезонов

P_π^\pm - трехмерный импульс J^\pm -мезонов

Θ_{12} - угол разлета J^\pm -мезонов

Θ_{π^\pm} - угол J^\pm -мезонов по отношению к направлению J -квантов.

Так как в области энергии $E_J = 10-30$ ГэВ можно считать, что $E_\pi^\pm \approx P_\pi^\pm$, то уравнение (6) можно написать в виде

$$m_\rho^2 = 2m_\pi^2 + 4E_\pi^+ E_\pi^- \sin^2 \frac{\Theta_{12}}{2} \quad (7)$$

$$E_J = \frac{2m_p E_J - m_p^2}{2[m_p - E_J + E_{\pi^+} \cos \theta_{\pi^+} + E_{\pi^-} \cos \theta_{\pi^-}]} . \quad (8)$$

Если учесть, что $E_{\pi^+} \approx E_J - E_{\pi^-}$ и $\theta_{\pi^+} \approx \theta_{\pi^+} - \theta_{\pi^-}$, то будем иметь два уравнения с двумя неизвестными θ_{π^-} и E_{π^-} . Совместное решение этих уравнений дает формулу

$$E_J = \frac{2m_p E_J - m_p^2}{2[m_p - E_J + \frac{1}{2}(E_J \mp \sqrt{E_J^2 - \frac{m_p^2 - 2m_\rho^2}{\sin^2 \frac{\theta_{\pi^+}}{2}}} + E_{\pi^+}) \cos(\theta_{\pi^+} - \theta_{\pi^-}) + \frac{1}{2}(E_J \pm \sqrt{E_J^2 - \frac{m_p^2 - 2m_\rho^2}{\sin^2 \frac{\theta_{\pi^+}}{2}}}) \cos \theta_{\pi^-}]} . \quad (9)$$

Отсюда видно, что для определения массы ρ° -мезона достаточно знать энергию J -квантов E_J , угол разлета J -мезонов θ_{π^+} и направление одного из J -мезонов.

Из уравнения (9) получается удобная для определения ошибок формула

$$E_J = \left(\frac{\beta \pm (\beta^2 + 4Am_p^4)^{1/2}}{2A} \right)^{1/2} , \quad (10)$$

где

$$A = 4(\cos \theta_{\pi^-} - 1)(1 - \cos \theta_{\pi^+}) .$$

$$\beta = (\cos \theta_{\pi^-} - \cos \theta_{\pi^+})^2 \frac{m_p^2 - 2m_\rho^2}{\sin^2 \frac{\theta_{\pi^+}}{2}} - 2m_p^2(2 - \cos \theta_{\pi^+} - \cos \theta_{\pi^-}) .$$

Ошибка определения энергии J -квантов вычисляется по следующей формуле

$$\Delta E_J = \frac{\partial E_J}{\partial m_p} \Delta m_p + \frac{\partial E_J}{\partial \theta_{\pi^+}} \Delta \theta + \frac{\partial E_J}{\partial \theta_{\pi^-}} \Delta \theta \quad (II)$$

здесь Δm_p - ошибка определения массы ρ^0 -мезона;
 $\Delta \Theta$ - ошибка определения углов Θ_φ и Θ_θ .

В работе (7), где аналогичным методом было измерено сечение реакции перезарядки K^- -мезонов на протонах, углы были измерены с точностью $\Delta \Theta \approx 0,7 \cdot 10^{-3}$ рад.

Для такого же значения $\Delta \Theta$ в области энергии $E_f = (10-30)$ Гэв в таблице 2 приведены точности определения энергии J -квантов, обеспечивающие точности определения массы ρ^0 -мезона $\Delta m_p = 0,05$ Гэв и $m_p = 0,07$ Гэв.

В данной области энергии ρ^0 -мезонов максимальный угол разлета J^\pm -мезонов 0,25 рад. Такое значение угла разлета обеспечивает получение геометрической эффективности установки порядка 100%. Для интенсивности электронного пучка с импульсом 35 Гэв получено значение $N_e = 5 \cdot 10^5$ электронов в цикле.

Если взять толщину мишени 0,05 радиационной длины, то число ожидаемых полезных событий для водорода получится примерно 2 случая в минуту.

Для обеспечения статистической точности 5% нужно $\sim 30, \sim 60, \sim 100$ часов ускорительного времени для водорода, углерода и алюминия, соответственно.

Предлагаемый эксперимент можно провести также совместно с экспериментом по определению $G_{tot}(J A)^{[4]}$, если в установку этого эксперимента добавить пару искровых камер (рис.3). В этом случае отпадает необходимость триггерных счетчиков S_1 и S_2 (рис.1), так как адронные детекторы (AD_1) и (AD_2) (остальные обозначения рис.3 соответствуют обозначениям рис.1), сделанные из слоев свинца и сцинтилляторов, одновременно можно использовать как триггер-

ные счетчики для запуска искровых камер. Ясно также, что в этом случае можно получить одновременно и информацию о множественности фоторождения адронов на ядрах. Задача упрощается тем, что все узлы установки наложены, кроме согласования системы мечения и искровых камер с остальной аппаратурой.

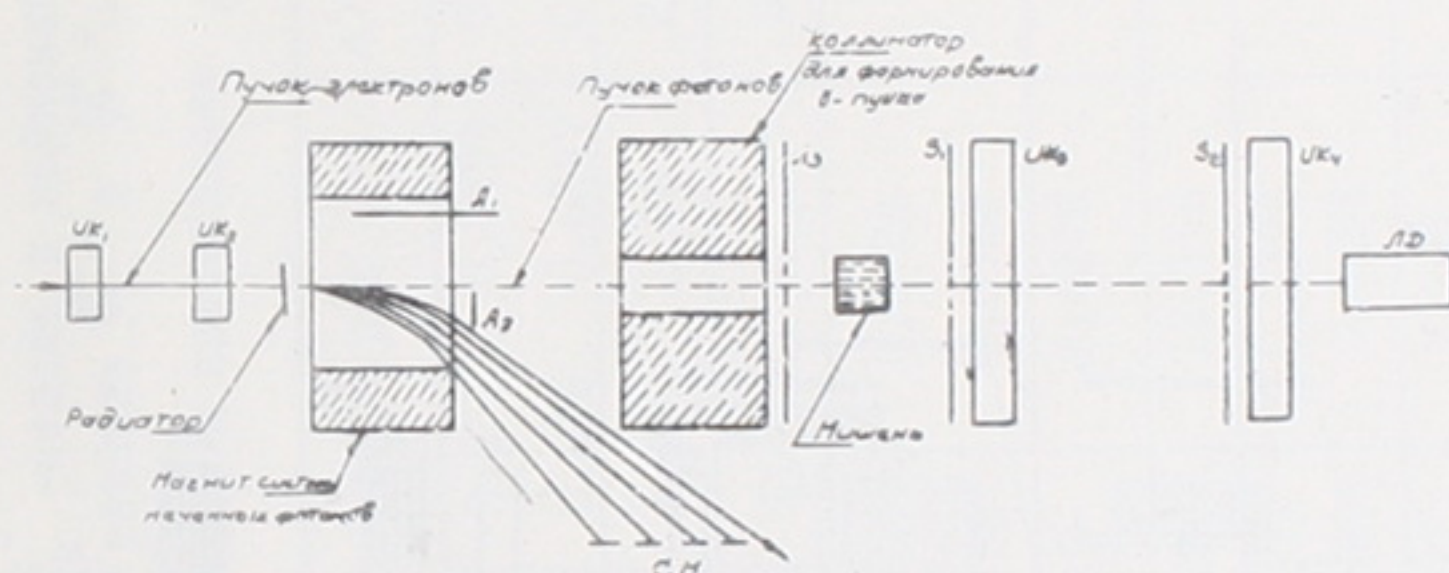


Рис 1.
Установка эксперимента ГЭС (ГЭС-ГЭМ)

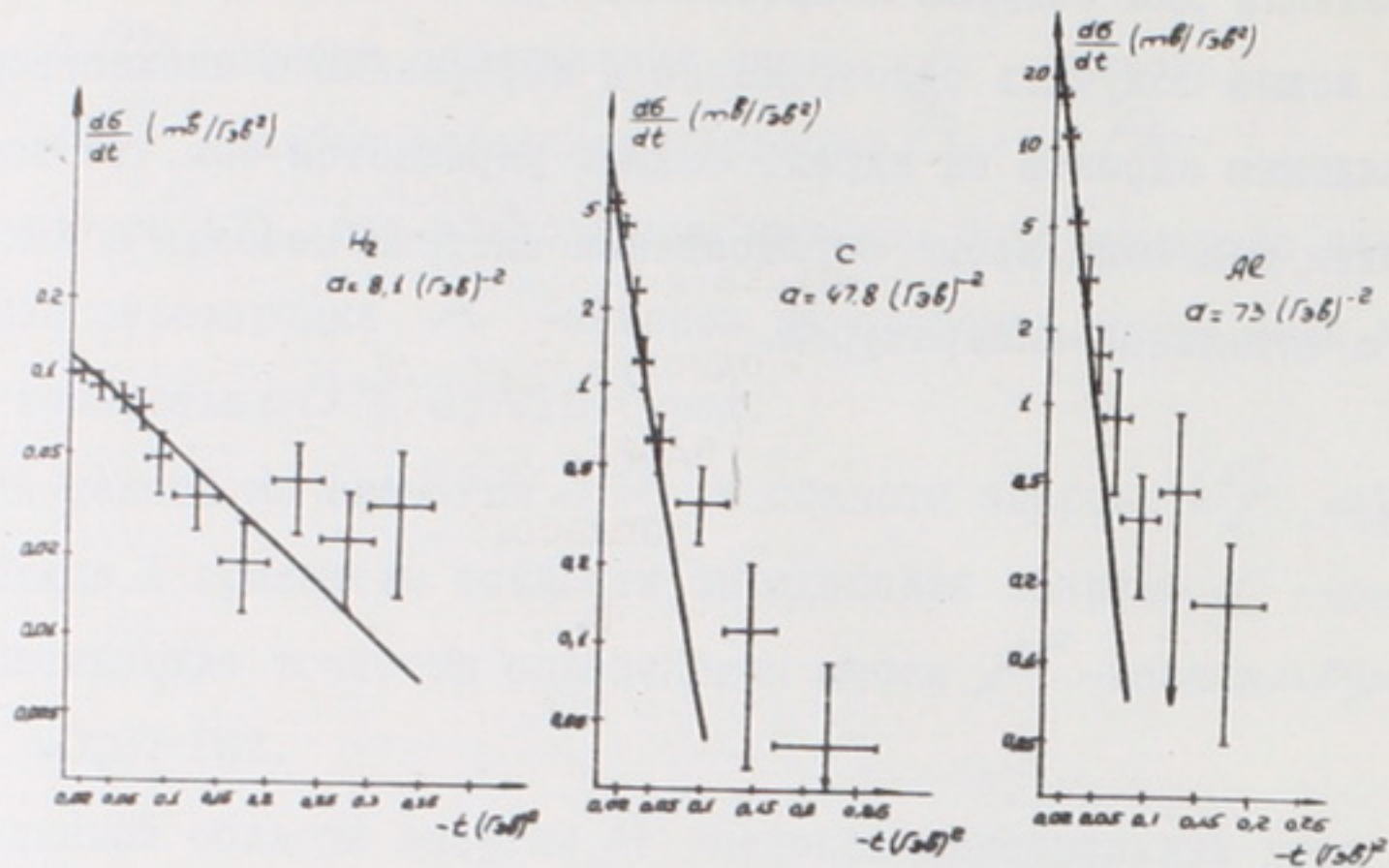


Рис. 2

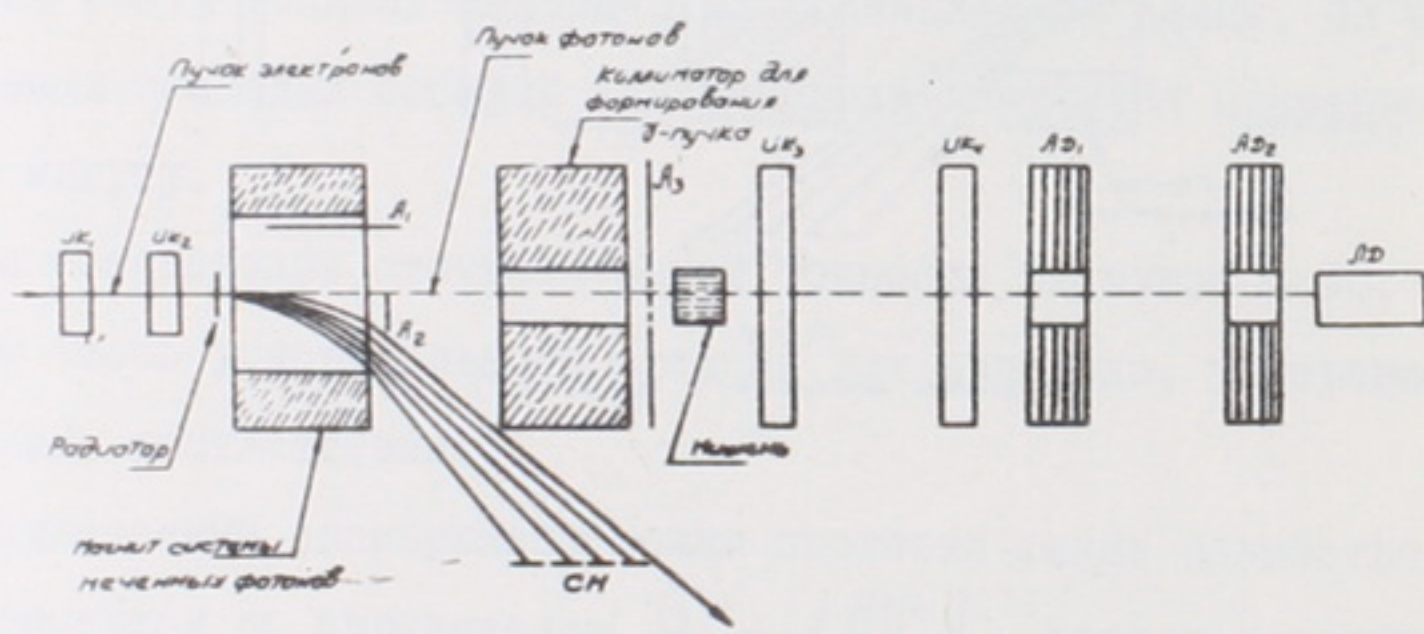


Рис. 3

Установка для однодиаграммного измерения $\sigma_{\text{tot}}(\delta p)$ и $\sigma_{\text{tot}}(\delta p - \delta p')$

РН
324163

Таблица 2

Точности определения массы ρ^0 -мезона в зависимости от точности определения энергии γ -квантов для разных углов разлета π^+ и π^- -мезонов ($\Theta_{1,2}$). Угол Θ_{π^+} -это угол вылета π^+ -мезона по отношению к направлению γ -кванта.

$\Delta m_\rho = 0,07 \text{ ГэВ}, \Delta \Theta = 0,7 \cdot 10^{-3} \text{ рад}$						$\Delta m_\rho = 0,05 \text{ ГэВ}, \Delta \Theta = 0,7 \cdot 10^{-3} \text{ рад}$						
$E_\gamma = 30 \text{ ГэВ}$	$\Theta_{1,2}$	0,0804	0,0648	0,057	0,051	0,0494	Θ_{π^+}	0,0804	0,0648	0,057	0,051	0,0494
	Θ_{π^+}	0,0657	0,0475	0,037	0,026	0,0247	Θ_{π^+}	0,0657	0,0475	0,037	0,026	0,0247
	$\frac{\Delta E_\gamma}{E_\gamma}$	3,29	3,38	3,445	5,59	3,76	$\frac{\Delta E_\gamma}{E_\gamma}$	2,65	2,688	2,7	2,85	2,94
	$\frac{\Delta E_\gamma \%}{E_\gamma}$	10,97	II,27	II,48	II,97	I2,53	$\frac{\Delta E_\gamma \%}{E_\gamma}$	8,8	8,97	9	9,35	9,8
$E_\gamma = 20 \text{ ГэВ}$	$\Theta_{1,2}$	0,1222		0,0756	0,0724		Θ_{π^+}	0,1222	0,0756		0,0724	
	Θ_{π^+}	0,1019		0,0388	0,0362		Θ_{π^+}	0,1019	0,0328		0,0362	
	$\frac{\Delta E_\gamma}{E_\gamma}$	2,16		2,925	2,4276		$\frac{\Delta E_\gamma}{E_\gamma}$	I,71	I,696		I,852	
	$\frac{\Delta E_\gamma \%}{E_\gamma}$	10,8		II,12	I2,I38		$\frac{\Delta E_\gamma \%}{E_\gamma}$	8,55	8,48		9,26	
$E_\gamma = 10 \text{ ГэВ}$	$\Theta_{1,2}$	0,2385		0,1571	0,1396		Θ_{π^+}	0,2385	0,1571		0,1396	
	Θ_{π^+}	0,1907		0,08875	0,0698		Θ_{π^+}	0,1907	0,08875		0,0698	
	$\frac{\Delta E_\gamma}{E_\gamma}$	0,846		0,999	I,205		$\frac{\Delta E_\gamma}{E_\gamma}$	0,63	0,736		0,893	
	$\frac{\Delta E_\gamma \%}{E_\gamma}$	8,46		0,93	I2,05		$\frac{\Delta E_\gamma \%}{E_\gamma}$	6,3	7,36		8,93	

ЛИТЕРАТУРА

1. J.Park et al. Nuclear physics B v.B36(1972)p.404.
2. D.O.Caldwell et al.Phys.Rev.Letters 25,609 (1970).
3. А.И.Алиханян, Г.Т.Киракосян. Препринт ЕрФИ (1969).
4. А.И.Алиханян и др. Препринт ЕрФИ-ЭЧ-1 (1970).
5. А.И.Алиханян и др. Препринт ИФВЭ ОП-СТФ 70-105.
6. H.Blechschmidt .Препринт DESY 3214 (1968).
7. В.Н.Болотов и др. Препринт ИФВЭ (в печати)

Редактор Л.П.Мукаян

Заказ 0405

ВФ-03381

Тираж 460

Подписано к печати 26/УП-73г. Формат издания 30 x 40
0,8 уч.изд.л. Ц.6 к.

Отпечатано на ротапринте
Ереванского физического института, Ереван 36, пер. Маркаряна 2

ԳԱԱ Հիմնարար Գիտ. Գրադ.



FL025 1592

P II
324163